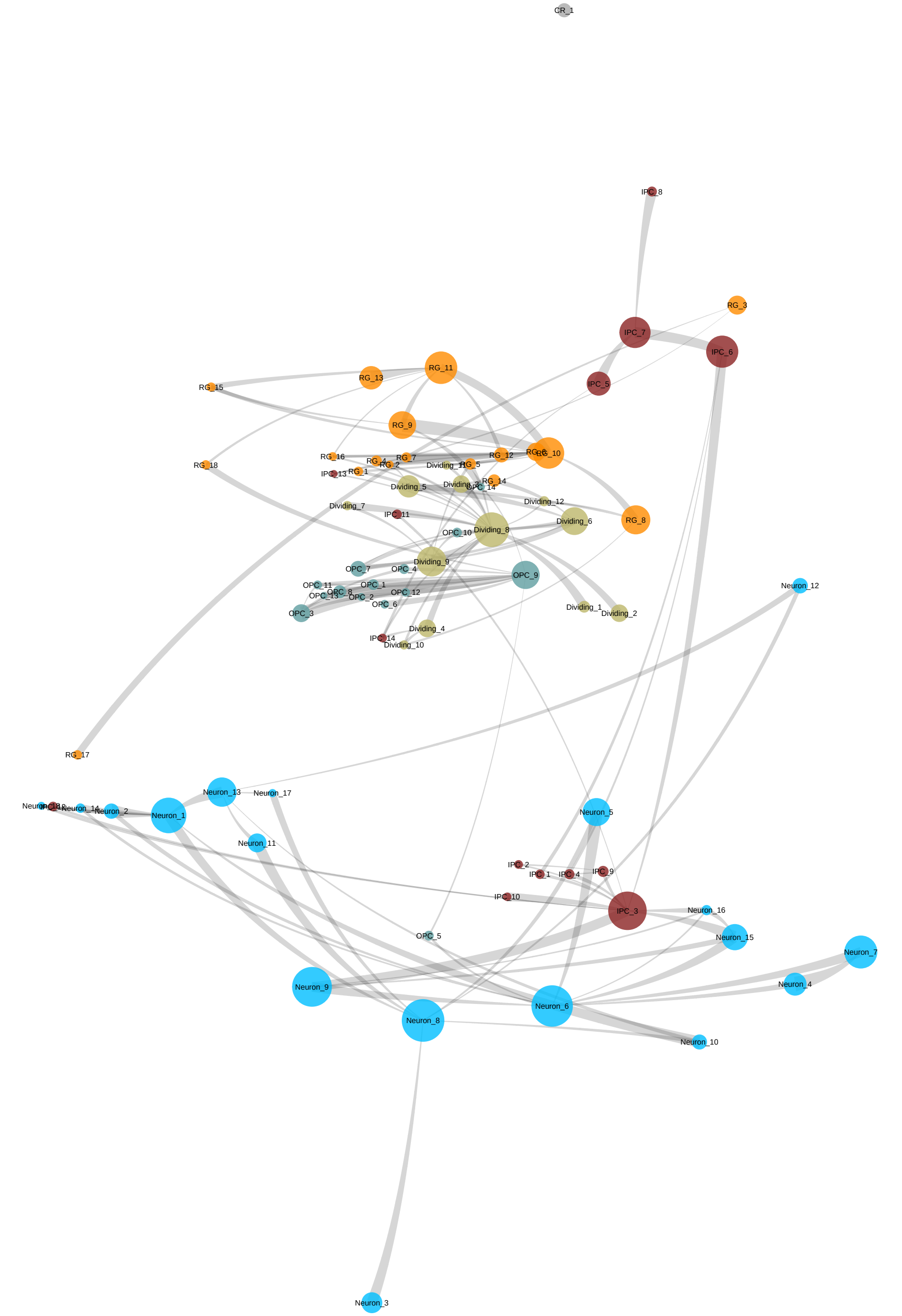
CR_1
IPC_8
RG_3
IPC_7
IPC_6
IPC_5
RG_11
RG_13
RG_15
RG_9
RG_16
RG_4
RG_7
RG_12
RG_6
RG_10
RG_18
RG_2
Dividing_11
RG_5
IPC_13
RG_1
RG_14
Dividing_5
Dividing_3
OPC_14
Dividing_12
Dividing_7
IPC_11
Dividing_6
RG_8
OPC_10
Dividing_8
Dividing_9
OPC_7
OPC_4
OPC_9
OPC_11
OPC_1
OPC_8
OPC_12
OPC_13
OPC_2
OPC_6
OPC_3
Dividing_1
Dividing_2
Neuron_12
Dividing_4
IPC_14
Dividing_10
RG_17
Neuron_13
Neuron_17
Neuron_18
IPC_12
Neuron_14
Neuron_2
Neuron_1
Neuron_11
Neuron_5
IPC_2
IPC_1
IPC_4
IPC_9
IPC_10
IPC_3
Neuron_16
Neuron_15
OPC_5
Neuron_7
Neuron_4
Neuron_9
Neuron_6
Neuron_8
Neuron_10
Neuron_3

cluster_size

100

1000

10000

cluster.label

CR_1
Dividing_1
Dividing_10
Dividing_11
Dividing_12
Dividing_2
Dividing_3
Dividing_4
Dividing_5
Dividing_6
Dividing_7
Dividing_8
Dividing_9
IPC_1
IPC_10
IPC_11
IPC_12
IPC_13
IPC_14
IPC_2
IPC_3
IPC_4
IPC_5
IPC_6
IPC_7
IPC_8
IPC_9
Neuron_1
Neuron_10
Neuron_11
Neuron_12
Neuron_13
Neuron_14
Neuron_15
Neuron_16
Neuron_17
Neuron_18
Neuron_2
Neuron_3
Neuron_4
Neuron_5
Neuron_6
Neuron_7
Neuron_8
Neuron_9
OPC_1
OPC_10
OPC_11
OPC_12
OPC_13
OPC_14
OPC_2
OPC_3
OPC_4
OPC_5
OPC_6
OPC_7
OPC_8
OPC_9
RG_1
RG_10
RG_11
RG_12
RG_13
RG_14
RG_15
RG_16
RG_17
RG_18
RG_2
RG_3
RG_4
RG_5
RG_6
RG_7
RG_8
RG_9

Fraction of edges to node

100

50

25